

Estabilidade de um trem de ondas moduladas lentamente sobre um fundo marinho variável

Ana Maria Luz, André Nachbin

PUC- RJ/IMPA

2010

- 1 Descrição do Modelo Físico
- 2 Formulação em Coordenadas Curvilíneas
 - Aplicação Conforme
 - Análise Assintótica em múltiplas escalas (Mei e Hancock - JFM03) para topografias de grande amplitude
- 3 Forma Clássica da SNL com Termo de Amortecimento
- 4 Ondas de Stokes: Estabilidade \times Topografia
- 5 Referências Bibliográficas

Equações para ondas aquáticas:

$$\begin{aligned}\Phi_{xx} + \Phi_{zz} &= 0, & -h(x) < z < \eta, \\ g\eta + \Phi_t + \frac{1}{2}|\nabla\Phi|^2 &= 0, & z = \eta(x, t) \\ \eta_t + \Phi_x\eta_x &= \Phi_z, & z = \eta(x, t) \\ h_x\Phi_x + \Phi_z &= 0, & z = -h(x).\end{aligned}$$

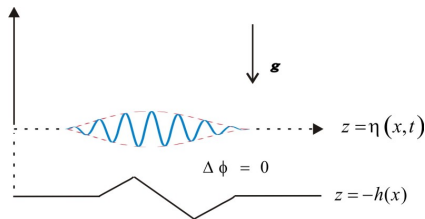


Figura 1: Esboço da região de interesse.

Hipóteses

- $\eta = O(A)$ e que $kA \ll 1$, aqui A é amplitude característica da onda.
- $kH = O(1)$

Dado inicial: Trem de ondas

Hipóteses

- $\eta = O(A)$ e que $kA \ll 1$, aqui A é amplitude característica da onda.
- $kH = O(1)$

Dado inicial: Trem de ondas

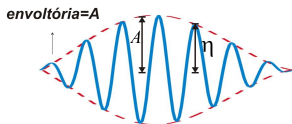


Figura 2: Dado inicial

Representação matemática:

$$\eta(x, 0) = A(\varepsilon x, \varepsilon^2 x, \dots) e^{i\psi},$$

onde $\varepsilon = kA \ll 1$, ψ é a fase da onda $\psi = kx - \omega t$, com k o número de onda e ω a frequência.

Hipóteses

- $\eta = O(A)$ e que $kA \ll 1$, aqui A é amplitude característica da onda.
- $kH = O(1)$

Dado inicial: Trem de ondas

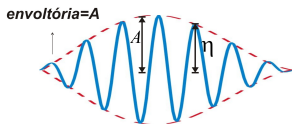


Figura 2: Dado inicial

Representação matemática:

$$\eta(x, 0) = A(\varepsilon x, \varepsilon^2 x, \dots) e^{i\psi},$$

onde $\varepsilon = kA \ll 1$, ψ é a fase da onda $\psi = kx - \omega t$, com k o número de onda e ω a frequência.

Definiremos a aplicação como segue:

$$z(\xi + i\zeta) = x + iz.$$

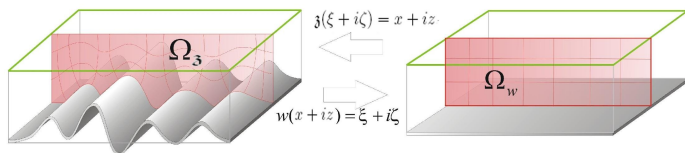


Figura 3: Representação esquemática da aplicação conforme $z(w)$ e de sua inversa.

O conjunto de equações para ondas aquáticas escrito no sistema de coordenadas curvilíneas (ξ, ζ) fica, respectivamente, da forma:

$$\begin{aligned} \Phi_{\xi\xi} + \Phi_{\zeta\zeta} &= 0, & -1 < \zeta < N(\xi, t), \\ |J|N_t + \Phi_\xi N_\xi - \Phi_\zeta &= 0, & \zeta = N(\xi, t) \\ |J|(g\eta + \Phi_t) + \frac{1}{2}|\nabla_{\xi\zeta}\Phi|^2 &= 0, & \zeta = N(\xi, t) \\ \Phi_\zeta &= 0, & \zeta = -1. \end{aligned}$$

Coeficiente da superfície livre

Hamilton (1977), Nachbin (2003) e Artiles Roqueta (2004)

$$|J|(\xi, \zeta) = z_\xi^2 + z_\zeta^2.$$

$$|J|(\xi, \zeta) = M(\xi)^2 + \mathcal{R}_J(\xi, \zeta).$$

com $M(\xi) \equiv z_\zeta(\xi, 0)$, onde $z(\xi, \zeta)$ é definido como solução de

$$\begin{aligned} z_{\xi\xi} + z_{\zeta\zeta} &= 0, & (\xi, \zeta) \in \Omega_w \\ z &= 0, & \zeta = 0 \\ z &= -h(x(\xi, -1)), & \zeta = -1. \end{aligned}$$

$$M(\xi) \equiv z_\zeta(\xi, 0) = \frac{\pi}{4} \int_{-\infty}^{\infty} \frac{h(x(\xi', -1))}{\cosh^2 \frac{\pi}{2} (\xi - \xi')} d\xi'.$$

Coeficiente da superfície livre

Hamilton (1977), Nachbin (2003) e Artiles Roqueta (2004)

$$|J|(\xi, \zeta) = z_\xi^2 + z_\zeta^2.$$

$$|J|(\xi, \zeta) = M(\xi)^2 + \mathcal{R}_J(\xi, \zeta).$$

com $M(\xi) \equiv z_\zeta(\xi, 0)$, onde $z(\xi, \zeta)$ é definido como solução de

$$\begin{aligned} z_{\xi\xi} + z_{\zeta\zeta} &= 0, & (\xi, \zeta) \in \Omega_w \\ z &= 0, & \zeta = 0 \\ z &= -h(x(\xi, -1)), & \zeta = -1. \end{aligned}$$

$$M(\xi) \equiv z_\zeta(\xi, 0) = \frac{\pi}{4} \int_{-\infty}^{\infty} \frac{h(x(\xi', -1))}{\cosh^2 \frac{\pi}{2} (\xi - \xi')} d\xi'.$$

Coeficiente da superfície livre

Hamilton (1977), Nachbin (2003) e Artiles Roqueta (2004)

$$|J|(\xi, \zeta) = z_\xi^2 + z_\zeta^2.$$

$$|J|(\xi, \zeta) = M(\xi)^2 + \mathcal{R}_J(\xi, \zeta).$$

com $M(\xi) \equiv z_\zeta(\xi, 0)$, onde $z(\xi, \zeta)$ é definido como solução de

$$\begin{aligned} z_{\xi\xi} + z_{\zeta\zeta} &= 0, & (\xi, \zeta) \in \Omega_w \\ z &= 0, & \zeta = 0 \\ z &= -h(x(\xi, -1)), & \zeta = -1. \end{aligned}$$

$$M(\xi) \equiv z_\zeta(\xi, 0) = \frac{\pi}{4} \int_{-\infty}^{\infty} \frac{h(x(\xi', -1))}{\cosh^2 \frac{\pi}{2} (\xi - \xi')} d\xi'.$$

Coeficiente da superfície livre

Hamilton (1977), Nachbin (2003) e Artiles Roqueta (2004)

$$|J|(\xi, \zeta) = z_\xi^2 + z_\zeta^2.$$

$$|J|(\xi, \zeta) = M(\xi)^2 + \mathcal{R}_J(\xi, \zeta).$$

com $M(\xi) \equiv z_\zeta(\xi, 0)$, onde $z(\xi, \zeta)$ é definido como solução de

$$\begin{aligned} z_{\xi\xi} + z_{\zeta\zeta} &= 0, & (\xi, \zeta) \in \Omega_w \\ z &= 0, & \zeta = 0 \\ z &= -h(x(\xi, -1)), & \zeta = -1. \end{aligned}$$

$$M(\xi) \equiv z_\zeta(\xi, 0) = \frac{\pi}{4} \int_{-\infty}^{\infty} \frac{h(x(\xi', -1))}{\cosh^2 \frac{\pi}{2} (\xi - \xi')} d\xi'.$$

Condições de fronteira na superfície livre $\zeta = N(\xi, t)$

Pode-se relacionar a função $N(\xi, t)$, e $\eta(x, t)$ em função do coeficiente livre, $M(\xi)$

$$N(\xi) = \frac{1}{M(\xi)}\eta(\xi, t) + \mathcal{R}(\xi, \zeta).$$

Começamos a análise assintótica pelas condições na superfície livre, consideramos em $\zeta = N(\xi, t)$:

$$\frac{\partial^2 \Phi}{\partial t^2} + \frac{g}{|J|M} \frac{\partial \Phi}{\partial \zeta} + \frac{1}{|J|} \frac{\partial \mathbf{u}^2}{\partial t} + \frac{1}{2|J|^2} \mathbf{u} \cdot \nabla \mathbf{u}^2 + \frac{M_\xi}{M|J|} \Phi_\xi \left(-\frac{1}{2|J|} \mathbf{u}^2 - \Phi_t \right) - \frac{gM}{|J|} \Phi_\xi \mathcal{R}_\xi = 0.$$

e

$$g\eta = -\frac{1}{2|J|} \mathbf{u}^2 - \Phi_t,$$

Condições de fronteira na superfície livre $\zeta = N(\xi, t)$

Pode-se relacionar a função $N(\xi, t)$, e $\eta(x, t)$ em função do coeficiente livre, $M(\xi)$

$$N(\xi) = \frac{1}{M(\xi)}\eta(\xi, t) + \mathcal{R}(\xi, \zeta).$$

Começamos a análise assintótica pelas condições na superfície livre, consideramos em $\zeta = N(\xi, t)$:

$$\frac{\partial^2 \Phi}{\partial t^2} + \frac{g}{|J|M} \frac{\partial \Phi}{\partial \zeta} + \frac{1}{|J|} \frac{\partial \mathbf{u}^2}{\partial t} + \frac{1}{2|J|^2} \mathbf{u} \cdot \nabla \mathbf{u}^2 + \frac{M_\xi}{M|J|} \Phi_\xi \left(-\frac{1}{2|J|} \mathbf{u}^2 - \Phi_t \right) - \frac{gM}{|J|} \Phi_\xi \mathcal{R}_\xi = 0.$$

e

$$g\eta = -\frac{1}{2|J|} \mathbf{u}^2 - \Phi_t,$$

- Considerando $\eta = O(A)$. Faço a expansão de Taylor em torno de $\zeta = 0$ até a terceira ordem $O(kA)^3$
- Introduzimos múltiplas escalas

$$\begin{aligned}\xi, \quad \xi_1 = \varepsilon\xi, \quad \xi_2 = \varepsilon^2\xi \dots, \\ t, \quad t_1 = \varepsilon t, \quad t_2 = \varepsilon^2 t \dots,\end{aligned}$$

onde $\varepsilon = kA \ll 1$.

- Supomos Φ e η como séries de potências em ε :

$$\Phi = \sum_{n=1} \varepsilon^n \phi_n, \quad \eta = \sum_{n=1} \varepsilon^n \eta_n,$$

onde:

$$\begin{aligned}\phi_n &= \phi_n(\xi, \xi_1, \xi_2, \dots; \dots; \zeta; t, t_1, t_2, \dots), \\ \eta_n &= \eta_n(\xi, \xi_1, \xi_2, \dots; t, t_1, t_2, \dots),\end{aligned}$$

- Considerando $\eta = O(A)$. Faço a expansão de Taylor em torno de $\zeta = 0$ até a terceira ordem $O(kA)^3$
- Introduzimos múltiplas escalas

$$\begin{aligned}\xi, \quad \xi_1 = \varepsilon\xi, \quad \xi_2 = \varepsilon^2\xi \dots, \\ t, \quad t_1 = \varepsilon t, \quad t_2 = \varepsilon^2 t \dots,\end{aligned}$$

onde $\varepsilon = kA \ll 1$.

- Supomos Φ e η como séries de potências em ε :

$$\Phi = \sum_{n=1} \varepsilon^n \phi_n, \quad \eta = \sum_{n=1} \varepsilon^n \eta_n,$$

onde:

$$\begin{aligned}\phi_n &= \phi_n(\xi, \xi_1, \xi_2, \dots; \dots; \zeta; t, t_1, t_2, \dots), \\ \eta_n &= \eta_n(\xi, \xi_1, \xi_2, \dots; t, t_1, t_2, \dots),\end{aligned}$$

- Considerando $\eta = O(A)$. Faço a expansão de Taylor em torno de $\zeta = 0$ até a terceira ordem $O(kA)^3$
- Introduzimos múltiplas escalas

$$\begin{aligned} \xi, \quad \xi_1 = \varepsilon \xi, \quad \xi_2 = \varepsilon^2 \xi \dots, \\ t, \quad t_1 = \varepsilon t, \quad t_2 = \varepsilon^2 t \dots, \end{aligned}$$

onde $\varepsilon = kA \ll 1$.

- Supomos Φ e η como séries de potências em ε :

$$\Phi = \sum_{n=1} \varepsilon^n \phi_n, \quad \eta = \sum_{n=1} \varepsilon^n \eta_n,$$

onde:

$$\begin{aligned} \phi_n &= \phi_n(\xi, \xi_1, \xi_2, \dots; \dots; \zeta; t, t_1, t_2, \dots), \\ \eta_n &= \eta_n(\xi, \xi_1, \xi_2, \dots; t, t_1, t_2, \dots), \end{aligned}$$

Substituindo as séries de potências obtemos uma família de problemas lineares para ϕ_n . Precisamos aprender como lidar com o coeficiente $M(\xi)$.

$$\begin{aligned} \left(\frac{\partial^2}{\partial \xi^2} + \frac{\partial^2}{\partial \zeta^2} \right) \phi_n &= F_n, & -1 < \zeta < 0, \\ \mathcal{L}\phi_n \equiv \left(\frac{\partial^2}{\partial t^2} + \frac{g}{M} \frac{\partial}{\partial \zeta} \right) \phi_n &= \widetilde{G}_n, & \zeta = 0, \\ \frac{\partial \phi_n}{\partial \zeta} &= 0, & \zeta = -1. \end{aligned}$$

Recuperamos η_n de:

$$-g\eta_n = \widetilde{H}_n, \quad \zeta = 0,$$

Como lidar com o coeficiente $M(\xi)$?

- Suponha que a função que descreve a topografia do solo marinho é da forma:

$$h(x) = \begin{cases} 1 + n(x), & -L < x < L, \\ 1; & x \leq -L \text{ ou } x \geq L. \end{cases}$$

- $n(x)$ pode ter amplitude grande e ser descontínua.
- Quando $h(x)$ é escrita desta forma, o coeficiente da superfície livre (termo métrico) tem a forma:

$$M(\xi) \equiv z_\zeta(\xi, 0) = \frac{\pi}{4} \int_{-\infty}^{\infty} \frac{h(x(\xi', -1))}{\cosh^2 \frac{\pi}{2} (\xi - \xi')} d\xi' = 1 + m(\xi)$$

$$m(\xi) = \frac{\pi}{4} \int_{-\infty}^{\infty} \frac{n(x(\xi', -1))}{\cosh^2 \frac{\pi}{2} (\xi - \xi')} d\xi'.$$

Como lidar com o coeficiente $M(\xi)$?

- Suponha que a função que descreve a topografia do solo marinho é da forma:

$$h(x) = \begin{cases} 1 + n(x), & -L < x < L, \\ 1; & x \leq -L \text{ ou } x \geq L. \end{cases}$$

- $n(x)$ pode ter amplitude grande e ser descontínua.
- Quando $h(x)$ é escrita desta forma, o coeficiente da superfície livre (termo métrico) tem a forma:

$$M(\xi) \equiv z_\zeta(\xi, 0) = \frac{\pi}{4} \int_{-\infty}^{\infty} \frac{h(x(\xi'), -1)}{\cosh^2 \frac{\pi}{2} (\xi - \xi')} d\xi' = 1 + m(\xi)$$

$$m(\xi) = \frac{\pi}{4} \int_{-\infty}^{\infty} \frac{n(x(\xi'), -1)}{\cosh^2 \frac{\pi}{2} (\xi - \xi')} d\xi'.$$

Como lidar com o coeficiente $M(\xi)$?

- Suponha que a função que descreve a topografia do solo marinho é da forma:

$$h(x) = \begin{cases} 1 + n(x), & -L < x < L, \\ 1; & x \leq -L \text{ ou } x \geq L. \end{cases}$$

- $n(x)$ pode ter amplitude grande e ser descontínua.
- Quando $h(x)$ é escrita desta forma, o coeficiente da superfície livre (termo métrico) tem a forma:

$$M(\xi) \equiv z_\zeta(\xi, 0) = \frac{\pi}{4} \int_{-\infty}^{\infty} \frac{h(x(\xi', -1))}{\cosh^2 \frac{\pi}{2} (\xi - \xi')} d\xi' = 1 + m(\xi)$$

$$m(\xi) = \frac{\pi}{4} \int_{-\infty}^{\infty} \frac{n(x(\xi', -1))}{\cosh^2 \frac{\pi}{2} (\xi - \xi')} d\xi'.$$

Como lidar com o coeficiente $M(\xi)$?

- Suponha que a função que descreve a topografia do solo marinho é da forma:

$$h(x) = \begin{cases} 1 + n(x), & -L < x < L, \\ 1; & x \leq -L \text{ ou } x \geq L. \end{cases}$$

- $n(x)$ pode ter amplitude grande e ser descontínua.
- Quando $h(x)$ é escrita desta forma, o coeficiente da superfície livre (termo métrico) tem a forma:

$$M(\xi) \equiv z_\zeta(\xi, 0) = \frac{\pi}{4} \int_{-\infty}^{\infty} \frac{h(x(\xi', -1))}{\cosh^2 \frac{\pi}{2} (\xi - \xi')} d\xi' = 1 + m(\xi)$$

$$m(\xi) = \frac{\pi}{4} \int_{-\infty}^{\infty} \frac{n(x(\xi', -1))}{\cosh^2 \frac{\pi}{2} (\xi - \xi')} d\xi'.$$

Adotamos a seguinte representação:

$$M(\xi) = a + \varepsilon m'(\xi),$$

que considera os casos de topografias com flutuações de grande amplitude. Temos que a representa a profundidade efetiva que vai ser “sentida” na superfície livre e $\langle m'(\xi) \rangle = 0$. De fato $a = 1 - \delta$, com $0 < \delta < 1$, isto é, $a < 1$.

O “ansatz” desta representação de $M(\xi)$ está baseado na expressão de $h(x)$, de modo que:

$$\begin{aligned} M(\xi) &= 1 + m(\xi) \\ &= 1 + \langle m(\xi) \rangle + \varepsilon m'(\xi) \\ &= \underbrace{1 + \langle m(\xi) \rangle}_a + \varepsilon m'(\xi). \end{aligned}$$

Adotamos a seguinte representação:

$$M(\xi) = a + \varepsilon m'(\xi),$$

que considera os casos de topografias com flutuações de grande amplitude. Temos que a representa a profundidade efetiva que vai ser “sentida” na superfície livre e $\langle m'(\xi) \rangle = 0$. De fato $a = 1 - \delta$, com $0 < \delta < 1$, isto é, $a < 1$.

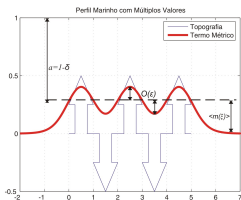
O “ansatz” desta representação de $M(\xi)$ está baseado na expressão de $h(x)$, de modo que:

$$\begin{aligned} M(\xi) &= 1 + m(\xi) \\ &= 1 + \langle m(\xi) \rangle + \varepsilon m'(\xi) \\ &= \underbrace{1 + \langle m(\xi) \rangle}_a + \varepsilon m'(\xi). \end{aligned}$$

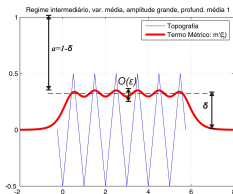
Adotamos a seguinte representação:

$$M(\xi) = a + \varepsilon m'(\xi),$$

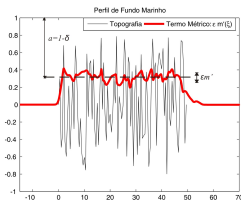
que considera os casos de topografias com flutuações de grande amplitude. Temos que a representa a profundidade efetiva que vai ser “sentida” na superfície livre e $\langle m'(\xi) \rangle = 0$. De fato $a = 1 - \delta$, com $0 < \delta < 1$, isto é, $a < 1$.



(a) Perfil com múltiplos valores



(b) Caso periódico



(c) Caso aleatório

Figura 4: Exemplo de topografias

Quando escrevemos $M(\xi) = a + \varepsilon m'(\xi)$ e substituímos nas equações em coordenadas curvilíneas em vez de obtermos:

$$\begin{aligned} \left(\frac{\partial^2}{\partial \xi^2} + \frac{\partial^2}{\partial \zeta^2} \right) \phi_n &= F_n, \quad -1 < \zeta < 0, \\ \mathcal{L}\phi_n \equiv \left(\frac{\partial^2}{\partial t^2} + \frac{g}{M} \frac{\partial}{\partial \zeta} \right) \phi_n &= \widetilde{G}_n, \quad \zeta = 0, \\ \frac{\partial \phi_n}{\partial \zeta} &= 0, \quad \zeta = -1. \end{aligned}$$

Recuperamos η_n de:

$$-g\eta_n = \widetilde{H}_n, \quad \zeta = 0,$$

Quando escrevemos $M(\xi) = a + \varepsilon m'(\xi)$ e substituímos nas equações em coordenadas curvilíneas **nós obtemos**:

$$\begin{aligned}\left(\frac{\partial^2}{\partial \xi^2} + \frac{\partial^2}{\partial \zeta^2}\right) \phi_n &= F_n, \quad -1 < \zeta < 0, \\ \mathcal{L}_a \phi_n \equiv \left(\frac{\partial^2}{\partial t^2} + \frac{g}{a} \frac{\partial}{\partial \zeta}\right) \phi_n &= G_n, \quad \zeta = 0, \\ \frac{\partial \phi_n}{\partial \zeta} &= 0, \quad \zeta = -1.\end{aligned}$$

Recuperamos η_n de:

$$-g\eta_n = H_n, \quad \zeta = 0,$$

Nos problemas acima temos que

$$F_1 = 0, \quad F_2 = -2\phi_{1\xi\xi_1}, \quad F_3 = -\left[\phi_{1\xi_1\xi_1} + 2\phi_{1\xi\xi_2} + 2\phi_{2\xi\xi_1}\right];$$

$$G_1 = 0, \quad G_2 = -\left[\eta_1 \mathcal{L}_{a\zeta} \phi_1 + \frac{1}{a^2} \left(\phi_{1\xi}^2 + \phi_{1\zeta}^2\right)_t + 2\phi_{1tt_1}\right] + g \frac{m'(\xi)}{a^2} \phi_{1\zeta},$$

Nos problemas acima temos que

$$F_1 = 0, \quad F_2 = -2\phi_{1\xi\xi_1}, \quad F_3 = -\left[\phi_{1\xi_1\xi_1} + 2\phi_{1\xi\xi_2} + 2\phi_{2\xi\xi_1}\right];$$

$$G_1 = 0, \quad G_2 = -\left[\eta_1 \mathcal{L}_{a\zeta} \phi_1 + \frac{1}{a^2} \left(\phi_{1\xi}^2 + \phi_{1\zeta}^2\right)_t + 2\phi_{1tt_1}\right] + g \frac{m'(\xi)}{a^2} \phi_{1\zeta},$$

$$\begin{aligned}
G_3 = & - \left[\eta_2 \mathcal{L}_{a\zeta} \phi_1 + \eta_1 \mathcal{L}_{a\zeta} \phi_2 + \frac{1}{2} \eta_1^2 \mathcal{L}_{a\zeta\zeta} \phi_1 + \frac{2}{a^2} (\phi_{1\xi} \phi_{2\xi} + \phi_{1\zeta} \phi_{2\zeta})_t + \right. \\
& + \eta_1 (\phi_{1\xi}^2 + \phi_{1\zeta}^2)_{t\zeta} + \frac{1}{2a^4} \left(\phi_{1\xi} \frac{\partial}{\partial \xi} + \phi_{1\zeta} \frac{\partial}{\partial \zeta} \right) (\phi_{1\xi}^2 + \phi_{1\zeta}^2) \\
& + 2\phi_{2tt_1} + \frac{2}{a^2} \phi_{1\zeta} \phi_{1\zeta t_1} + \frac{2}{a^2} \phi_{1\xi_1} \phi_{1\xi t} + \frac{2}{a^2} \phi_{1\xi} \phi_{1\xi t_1} + \frac{2}{a^2} \phi_{1\xi} \phi_{1t\xi_1} + \\
& \left. + 2\eta_1 \phi_{1\zeta t t_1} + 2\phi_{1t t_2} + \phi_{1t_1 t_1} \right] + \eta_1 g \frac{m'(\xi)}{a^2} \phi_{1\zeta\zeta} + g \frac{m'(\xi)}{a^2} \phi_{2\zeta} - \\
& - g \frac{m'(\xi)^2}{a^3} \phi_{1\zeta} + 2 \frac{m'(\xi)}{a^3} (\phi_{1\xi}^2 + \phi_{1\zeta}^2)_t + \frac{m'_\xi(\xi)}{a^3} \phi_{1\xi} \phi_{1t},
\end{aligned}$$

$$\begin{aligned}
G_3 = & - \left[\eta_2 \mathcal{L}_{a\zeta} \phi_1 + \eta_1 \mathcal{L}_{a\zeta} \phi_2 + \frac{1}{2} \eta_1^2 \mathcal{L}_{a\zeta\zeta} \phi_1 + \frac{2}{a^2} (\phi_{1\xi} \phi_{2\xi} + \phi_{1\zeta} \phi_{2\zeta})_t + \right. \\
& + \eta_1 (\phi_{1\xi}^2 + \phi_{1\zeta}^2)_{t\zeta} + \frac{1}{2a^4} \left(\phi_{1\xi} \frac{\partial}{\partial \xi} + \phi_{1\zeta} \frac{\partial}{\partial \zeta} \right) (\phi_{1\xi}^2 + \phi_{1\zeta}^2) \\
& + 2\phi_{2tt_1} + \frac{2}{a^2} \phi_{1\zeta} \phi_{1\zeta t_1} + \frac{2}{a^2} \phi_{1\xi_1} \phi_{1\xi t} + \frac{2}{a^2} \phi_{1\xi} \phi_{1\xi t_1} + \frac{2}{a^2} \phi_{1\xi} \phi_{1t\xi_1} + \\
& \left. + 2\eta_1 \phi_{1\zeta t t_1} + 2\phi_{1t t_2} + \phi_{1t_1 t_1} \right] + \eta_1 g \frac{m'(\xi)}{a^2} \phi_{1\zeta\zeta} + g \frac{m'(\xi)}{a^2} \phi_{2\zeta} - \\
& - g \frac{m'(\xi)^2}{a^3} \phi_{1\zeta} + 2 \frac{m'(\xi)}{a^3} (\phi_{1\xi}^2 + \phi_{1\zeta}^2)_t + \frac{m'_\xi(\xi)}{a^3} \phi_{1\xi} \phi_{1t},
\end{aligned}$$

$$H_1 = \phi_{1t}, \quad H_2 = \phi_{2t} + \frac{1}{2a^2} \left(\phi_{1\xi}^2 + \phi_{1\zeta}^2 \right) + \phi_{1t_1} + \eta_1 \phi_{1\zeta t},$$

$$\begin{aligned} H_3 = & \phi_{3t} + \phi_{1\xi} \phi_{2\xi} + \phi_{1\zeta} \phi_{2\zeta} + \eta_1 \phi_{2\zeta t} + \eta_2 \phi_{1\zeta t} + \\ & + \frac{1}{2} \eta_1^2 \phi_{1\zeta \zeta t} + \frac{\eta_1}{2a^2} \left(\phi_{1\xi}^2 + \phi_{1\zeta}^2 \right)_{\zeta} + \phi_{2t_1} \\ & + \phi_{1\xi} \phi_{1\xi_1} + \phi_{1t_2} + \eta_1 \phi_{1\zeta t_1} - \frac{m'(\xi)}{a^3} \left(\phi_{1\xi}^2 + \phi_{1\zeta}^2 \right). \end{aligned}$$

$$H_1 = \phi_{1_t}, \quad H_2 = \phi_{2_t} + \frac{1}{2a^2} \left(\phi_{1_\xi}^2 + \phi_{1_\zeta}^2 \right) + \phi_{1_{t_1}} + \eta_1 \phi_{1_{\zeta t}},$$

$$\begin{aligned} H_3 = & \phi_{3_t} + \phi_{1_\xi} \phi_{2_\xi} + \phi_{1_\zeta} \phi_{2_\zeta} + \eta_1 \phi_{2_{\zeta t}} + \eta_2 \phi_{1_{\zeta t}} + \\ & + \frac{1}{2} \eta_1^2 \phi_{1_{\zeta \zeta t}} + \frac{\eta_1}{2a^2} \left(\phi_{1_\xi}^2 + \phi_{1_\zeta}^2 \right)_\zeta + \phi_{2_{t_1}} \\ & + \phi_{1_\xi} \phi_{1_{\xi_1}} + \phi_{1_{t_2}} + \eta_1 \phi_{1_{\zeta t_1}} - \frac{m'(\xi)}{a^3} \left(\phi_{1_\xi}^2 + \phi_{1_\zeta}^2 \right). \end{aligned}$$

Seja $\langle \dots \rangle$ a média no sentido probabilístico e $(\dots)'$ a perturbação desta componente. Usando a linearidade dos subproblemas, as soluções são expressas por:

$$\phi_n = \langle \phi_n \rangle + \phi'_n, \quad \eta_n = \langle \eta_n \rangle + \eta'_n, \quad n = 1, 2, 3, \dots$$

Os forçantes também podem ser escritos desta forma:

$$F_n = \langle F_n \rangle + F'_n, \quad G_n = \langle G_n \rangle + G'_n, \quad H_n = \langle H_n \rangle + H'_n.$$

Na parte de análise assintótica supomos que o termo métrico $m'(\xi)$ é um processo aleatório estacionário, com ergodicidade e que sua função de correlação vai para zero no infinito. Consideraremos ainda $\langle n(x) \rangle = 0$ e $\langle m'(\xi) \rangle = 0$.

Seja $\langle \dots \rangle$ a média no sentido probabilístico e $(\dots)'$ a perturbação desta componente. Usando a linearidade dos subproblemas, as soluções são expressas por:

$$\phi_n = \langle \phi_n \rangle + \phi'_n, \quad \eta_n = \langle \eta_n \rangle + \eta'_n, \quad n = 1, 2, 3, \dots$$

Os forçantes também podem ser escritos desta forma:

$$F_n = \langle F_n \rangle + F'_n, \quad G_n = \langle G_n \rangle + G'_n, \quad H_n = \langle H_n \rangle + H'_n.$$

Na parte de análise assintótica supomos que o termo métrico $m'(\xi)$ é um processo aleatório estacionário, com ergodicidade e que sua função de correlação vai para zero no infinito. Consideraremos ainda $\langle n(x) \rangle = 0$ e $\langle m'(\xi) \rangle = 0$.

Seja $\langle \dots \rangle$ a média no sentido probabilístico e $(\dots)'$ a perturbação desta componente. Usando a linearidade dos subproblemas, as soluções são expressas por:

$$\phi_n = \langle \phi_n \rangle + \phi'_n, \quad \eta_n = \langle \eta_n \rangle + \eta'_n, \quad n = 1, 2, 3, \dots$$

Os forçantes também podem ser escritos desta forma:

$$F_n = \langle F_n \rangle + F'_n, \quad G_n = \langle G_n \rangle + G'_n, \quad H_n = \langle H_n \rangle + H'_n.$$

Na parte de análise assintótica supomos que o termo métrico $m'(\xi)$ é um processo aleatório estacionário, com ergodicidade e que sua função de correlação vai para zero no infinito. Consideraremos ainda $\langle n(x) \rangle = 0$ e $\langle m'(\xi) \rangle = 0$.

Se em todas as ordens procurarmos soluções (tanto para a parte determinística, quanto para a aleatória), como séries envolvendo modos de Fourier da forma

$$\{\phi_n, F_n, G_n\} = \sum_{m=-n}^n e^{im\psi} \{\phi_{nm}, F_{nm}, G_{nm}\}. \quad (1)$$

Obteremos a seguinte família de subproblemas

$$\left(\frac{\partial^2}{\partial z^2} - m^2 k^2 \right) \phi_{nm} = F_{nm}, \quad -h < z < 0, \quad (2)$$

$$\left(\frac{g}{a} \frac{\partial}{\partial z} - m^2 \omega^2 \right) \phi_{nm} = G_{nm}, \quad z = 0, \quad (3)$$

$$\frac{\partial}{\partial z} \phi_{nm} = 0, \quad z = -h. \quad (4)$$

Se em todas as ordens procurarmos soluções (tanto para a parte determinística, quanto para a aleatória), como séries envolvendo modos de Fourier da forma

$$\{\phi_n, F_n, G_n\} = \sum_{m=-n}^n e^{im\psi} \{\phi_{nm}, F_{nm}, G_{nm}\}. \quad (1)$$

Obteremos a seguinte família de subproblemas

$$\left(\frac{\partial^2}{\partial z^2} - m^2 k^2 \right) \phi_{nm} = F_{nm}, \quad -h < z < 0, \quad (2)$$

$$\left(\frac{g}{a} \frac{\partial}{\partial z} - m^2 \omega^2 \right) \phi_{nm} = G_{nm}, \quad z = 0, \quad (3)$$

$$\frac{\partial}{\partial z} \phi_{nm} = 0, \quad z = -h. \quad (4)$$

Forma Clássica da SNL com Termo de Amortecimento

A equação de Schrödinger surge a partir da condição de compatibilidade dos problemas de valor de contorno em terceira ordem para parte determinística.

Depois de muitas contas obtemos:

$$-i \frac{\partial B}{\partial \tau} + \alpha_1 \frac{\partial^2 B}{\partial \chi^2} + \alpha_2 |B|^2 B - i\Theta B = 0, \quad \text{onde} \quad \Theta = \frac{\hat{\beta}_{ai}}{\omega} \left(\frac{\sigma_0}{A_0} \right)^2$$

sendo σ_0 o desvio padrão da perturbação no coeficiente da superfície livre e $\hat{\beta}_{ai}$ depende da correlação de $m'(\xi)$, de fato temos que:

$$\hat{\beta}_{ai} = \frac{\tilde{\beta}_{ai}}{(k\sigma)^2} \quad \text{onde}$$

$$\tilde{\beta}_a = \left(\beta_a - \frac{\omega}{2a^2} \langle m'(\xi)^2 \rangle \right), \text{ com}$$

$$\beta_a = \frac{gk \sinh q}{2\omega a^3 \cosh q} \int_{-\infty}^{\infty} \langle m'(\xi) m'(\xi') \rangle e^{-ikr} \mathcal{G}_\zeta(|r|, 0) dr,$$

$$\mathcal{G}(|r|, 0)_\zeta = ie^{ik|r|} \frac{k \sinh^2 k}{\sinh^2 k + \frac{a\omega^2}{g}} + \sum_n e^{-k_n|r|} \frac{k_n \sin^2 k_n}{\frac{a\omega^2}{g} - \sin^2 k_n}.$$

Forma Clássica da SNL com Termo de Amortecimento

A equação de Schrödinger surge a partir da condição de compatibilidade dos problemas de valor de contorno em terceira ordem para parte determinística. Depois de muitas contas obtemos:

$$-i \frac{\partial B}{\partial \tau} + \alpha_1 \frac{\partial^2 B}{\partial \chi^2} + \alpha_2 |B|^2 B - i\Theta B = 0, \quad \text{onde} \quad \Theta = \frac{\widehat{\beta}_{ai}}{\omega} \left(\frac{\sigma_0}{A_0} \right)^2$$

sendo σ_0 o desvio padrão da perturbação no coeficiente da superfície livre e $\widehat{\beta}_{ai}$ depende da correlação de $m'(\xi)$, de fato temos que:

$$\widehat{\beta}_{ai} = \frac{\widetilde{\beta}_{ai}}{(k\sigma)^2} \quad \text{onde}$$

$$\widetilde{\beta}_a = \left(\beta_a - \frac{\omega}{2a^2} \langle m'(\xi)^2 \rangle \right), \text{ com}$$

$$\beta_a = \frac{gk \sinh q}{2\omega a^3 \cosh q} \int_{-\infty}^{\infty} \langle m'(\xi) m'(\xi') \rangle e^{-ikr} \mathcal{G}_\zeta(|r|, 0) dr,$$

$$\mathcal{G}(|r|, 0)_\zeta = ie^{ik|r|} \frac{k \sinh^2 k}{\sinh^2 k + \frac{a\omega^2}{g}} + \sum_n e^{-k_n|r|} \frac{k_n \sin^2 k_n}{\frac{a\omega^2}{g} - \sin^2 k_n}.$$

Forma Clássica da SNL com Termo de Amortecimento

A equação de Schrödinger surge a partir da condição de compatibilidade dos problemas de valor de contorno em terceira ordem para parte determinística. Depois de muitas contas obtemos:

$$-i \frac{\partial B}{\partial \tau} + \alpha_1 \frac{\partial^2 B}{\partial \chi^2} + \alpha_2 |B|^2 B - i\Theta B = 0, \quad \text{onde} \quad \Theta = \frac{\widehat{\beta}_{ai}}{\omega} \left(\frac{\sigma_0}{A_0} \right)^2$$

sendo σ_0 o desvio padrão da perturbação no coeficiente da superfície livre e $\widehat{\beta}_{ai}$ depende da correlação de $m'(\xi)$, de fato temos que:

$$\widehat{\beta}_{ai} = \frac{\widetilde{\beta}_{ai}}{(k\sigma)^2} \quad \text{onde}$$

$$\widetilde{\beta}_a = \left(\beta_a - \frac{\omega}{2a^2} \langle m'(\xi)^2 \rangle \right), \text{ com}$$

$$\beta_a = \frac{gk \sinh q}{2\omega a^3 \cosh q} \int_{-\infty}^{\infty} \langle m'(\xi) m'(\xi') \rangle e^{-ikr} \mathcal{G}_\zeta(|r|, 0) dr,$$

$$\mathcal{G}(|r|, 0)_\zeta = ie^{ik|r|} \frac{k \sinh^2 k}{\sinh^2 k + \frac{a\omega^2}{g}} + \sum_n e^{-k_n|r|} \frac{k_n \sin^2 k_n}{\frac{a\omega^2}{g} - \sin^2 k_n}.$$

Forma Clássica da SNL com Termo de Amortecimento

$$-i \frac{\partial B}{\partial \tau} + \alpha_1 \frac{\partial^2 B}{\partial \chi^2} + \alpha_2 |B|^2 B - i \Theta B = 0,$$

com α_1 e α_2 dados por:

$$\alpha_1 = -\frac{k^2}{2\omega} \frac{\partial^2 \omega}{\partial k^2}, \quad \text{onde} \quad \omega^2 = \frac{gk}{a} \tanh q$$

$$\alpha_2 = \frac{\omega k^2}{16 \sinh^4 q} \left\{ (6a^2 + 2) \cosh^4 q + (37 - 45a^2) \cosh^2 q + 1 + (36a^2 - 28) - 2 \tanh^2 q \right\} - \frac{\left(a \widetilde{C}_g / c_p + 2 \cosh^2 q \right)^2}{2 a \sinh^2 2q \left(\frac{q}{\tanh q} - \frac{\widetilde{C}_g^2}{c_p} \right)} - \frac{\left(a \widetilde{C}_g / c_p + 2 \cosh^2 q \right) (\Upsilon)}{2 a^2 \sinh^2 2q \left(\frac{q}{\tanh q} - \frac{\widetilde{C}_g^2}{c_p} \right)}.$$

Veja que α_1 e α_2 dependem de a , que representa a profundidade efetiva e assim sendo dependem de $\langle m \rangle$.

Forma Clássica da SNL com Termo de Amortecimento

$$-i \frac{\partial B}{\partial \tau} + \alpha_1 \frac{\partial^2 B}{\partial \chi^2} + \alpha_2 |B|^2 B - i \Theta B = 0,$$

com α_1 e α_2 dados por:

$$\alpha_1 = -\frac{k^2}{2\omega} \frac{\partial^2 \omega}{\partial k^2}, \quad \text{onde} \quad \omega^2 = \frac{gk}{a} \tanh q$$

$$\alpha_2 = \frac{\omega k^2}{16 \sinh^4 q} \left\{ (6a^2 + 2) \cosh^4 q + (37 - 45a^2) \cosh^2 q + 1 + (36a^2 - 28) - 2 \tanh^2 q \right\} - \frac{\left(a \widetilde{C}_g / c_p + 2 \cosh^2 q \right)^2}{2 a \sinh^2 2q \left(\frac{q}{\tanh q} - \frac{\widetilde{C}_g^2}{c_p} \right)} - \frac{\left(a \widetilde{C}_g / c_p + 2 \cosh^2 q \right) (\Upsilon)}{2 a^2 \sinh^2 2q \left(\frac{q}{\tanh q} - \frac{\widetilde{C}_g^2}{c_p} \right)}.$$

Veja que α_1 e α_2 dependem de a , que representa a profundidade efetiva e assim sendo dependem de $\langle m \rangle$.

Ondas de Stokes: Estabilidade \times Topografia

Considere a SNL da forma:

$$-i \frac{\partial B}{\partial \tau} + \alpha_1 \frac{\partial^2 B}{\partial \chi^2} + \alpha_2 |B|^2 B = 0,$$

Para esta equação fizemos um estudo de estabilidade de Onda de Stokes relacionando estabilidade com efeito da topografia. Fazemos o seguinte “ansatz” para as ondas de Stokes:

$$B = B_0 e^{i(K\chi - \Omega\tau)},$$

uma vez que Ω satisfaça a relação de dispersão:

$$\Omega = \alpha_2 |B_0|^2 - \alpha_1 K^2.$$

Aqui, α_1 e α_2 são funções de k (> 0), o número de onda da onda portadora η_1 ; K (> 0) é o número de onda da modulação. Se escolhermos o número de onda desta solução como sendo unicamente k , então fazemos $K = 0$.

Para estudarmos questões de estabilidade, consideramos uma perturbação da onda de Stokes

$$B = B_0 (1 + \Delta b) e^{i(-\Omega\tau + \Delta\theta)},$$

onde $b = b(\chi, \tau)$, $\theta(\chi, \tau)$ (ambas tidas como funções reais), Δ um parâmetro pequeno. Lembrando que $K = 0$ temos que a relação de dispersão é dada por

$$\Omega = \alpha_2 |B_0|^2.$$

Substituindo na equação SNL obtem-se

$$-(b_\tau + i\theta_\tau - ib\Omega) + \alpha_1(b_{\chi\chi} + i\theta_{\chi\chi}) + 3\alpha_2|B_0|^2 b = 0.$$

Visto que b e θ são funções reais e usando novamente a relação $\Omega = \alpha_2 |B_0|^2$ para eliminar Ω na equação acima, temos que:

$$\begin{aligned}\theta_\tau + \alpha_1 b_{\chi\chi} + 2\alpha_2 |B_0|^2 b &= 0; \\ -b_\tau + \alpha_1 \theta_{\chi\chi} &= 0.\end{aligned}$$

Como as equações acima são lineares com coeficientes constantes vamos procurar uma solução da forma:

$$\begin{pmatrix} b \\ \theta \end{pmatrix} = \begin{pmatrix} b_o \\ \theta_o \end{pmatrix} e^{i(\kappa\chi - \mu\tau)} + *, \quad (5)$$

onde b_o , θ_o , $\kappa (> 0)$ e μ são constantes. Esta solução existe desde que

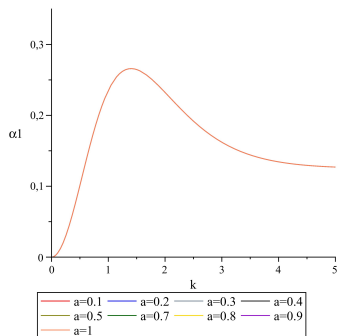
$$\begin{vmatrix} i\mu & -\kappa^2 \alpha_1 \\ -\alpha_1 \kappa^2 + 2|B_0|^2 \alpha_2 & -i\mu \end{vmatrix} = 0 \Leftrightarrow \mu^2 = (\alpha_1 \kappa)^2 (\kappa^2 - 2 \frac{\alpha_2}{\alpha_1} |B_0|^2). \quad (6)$$

$\frac{\alpha_2}{\alpha_1} < 0$	$(\mu \text{ é real})$ estável	“defocusing”
$\frac{\alpha_2}{\alpha_1} > 0$	$(\mu \text{ é imaginário})$ instável	“focusing” (SNL+)

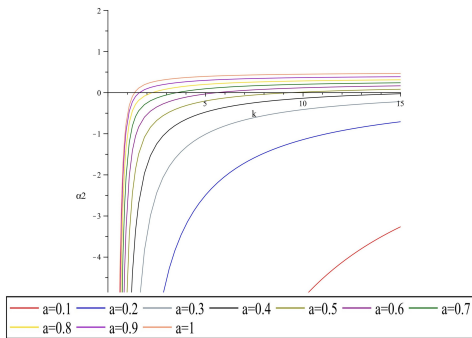
Tabela 1: Critério de estabilidade

Temos que o coeficiente α_1 é positivo para todo $k > 0$, e independe de a .
Porém, para um valor de a fixo, α_2 muda de sinal para um determinado valor de k . Veja os gráficos abaixo

Temos que o coeficiente α_1 é positivo para todo $k > 0$, e independe de a . Porém, para um valor de a fixo, α_2 muda de sinal para um determinado valor de k . Veja os gráficos abaixo



(a) Gráfico de $\alpha_1 \times k$



(b) Gráfico de $\alpha_2 \times k$

Figura 5:

A tabela abaixo mostra os valores aproximados deste valor crítico (k_0) onde o coeficiente α_2 muda de sinal.

a	$k_0 \approx$
1	1.363
0.9	1.609
0.8	2.272
0.7	3.528
0.6	5.592
0.5	9.393
0.4	17.142
0.3	35.245
0.2	89.536
0.1	388.6

Tabela 2: Valores de k onde α_2 muda de sinal

Os coeficiente α_2 contém a informação estatística da topografia através do parâmetro a (lembramos que a está relacionado com o valor de $\langle m(\xi) \rangle$).



À medida que diminuimos a profundidade efetiva a , ou seja aumentando a amplitude das flutuações da topografia, regularizamos a solução: números de onda que eram instáveis passam a ser estáveis, porque $\frac{\alpha_2}{\alpha_1} < 0$.



Em outras palavras, conforme a topografia flutua mais, a equação passa a ser “*defocusing*” em regiões onde antes era “*focusing*”.

Os coeficiente α_2 contém a informação estatística da topografia através do parâmetro a (lembramos que a está relacionado com o valor de $\langle m(\xi) \rangle$).



À medida que diminuimos a profundidade efetiva a , ou seja aumentando a amplitude das flutuações da topografia, regularizamos a solução: números de onda que eram instáveis passam a ser estáveis, porque $\frac{\alpha_2}{\alpha_1} < 0$.



Em outras palavras, conforme a topografia flutua mais, a equação passa a ser “*defocusing*” em regiões onde antes era “*focusing*”.

Os coeficiente α_2 contém a informação estatística da topografia através do parâmetro a (lembramos que a está relacionado com o valor de $\langle m(\xi) \rangle$).








À medida que diminuimos a profundidade efetiva a , ou seja aumentando a amplitude das flutuações da topografia, regularizamos a solução: números de onda que eram instáveis passam a ser estáveis, porque $\frac{\alpha_2}{\alpha_1} < 0$.







Em outras palavras, conforme a topografia flutua mais, a equação passa a ser “*defocusing*” em regiões onde antes era “*focusing*”.




Referências Bibliográficas

-  Artiles Roqueta, W. *Modelagem de ondas n ao lineares através do operador Dirichlet-to-Neumann*. PhD thesis, IMPA, Rio de Janeiro, Rio de Janeiro, 2004. Orientador: Nachbin, A.
-  Johnson, R. S. *A modern introduction to the mathematical theory of water waves*. Cambridge University Press, 1997.
-  Luz, A. M. S. *Estabilidade de um trem de ondas sobre um fundo marinho altamente variável*. Orientador: Nachbin, A. Tese de Doutorado. Rio de Janeiro : IMPA, 2009.
-  Mei, CC. *Applied dynamics of Ocean Surface Waves*, World Scientific, 1989.
-  Whitham, G. B. *Linear and Nonlinear Waves*. John Wiley, New York, 1982.

Referências Bibliográficas

-  Hamilton, J. Differential equations for long-period gravity waves on a fluid of rapidly varying depth. *J. Fluid Mech.*, 83, pp. 289-310, 1977.
-  Luz, A. M. S., NACHBIN, A. Modelagem de trem de ondas em regiões costeiras, 2008. Congresso Rio Oil and Gas, Apresentação de Trabalho.
-  Luz, A. M. S., NACHBIN, A. Equações de evolução para um trem de ondas sobre um fundo, 2007. Congresso 4PDPETRO ,Apresentação de Trabalho.
-  Luz, A. M. S., NACHBIN, A. Estabilidade de um trem de ondas sobre um fundo marinho altamente variável, 2009. Submetido para o Congresso 5PDPETRO, Apresentação de Trabalho.

Referências Bibliográficas

-  Nachbin, A. *A terrain-following Boussinesq system*. SIAM J. Appl. Math. V.63, p.905-922, 2003.
-  Mei, CC; Hancock, M. J. *Weakly nonlinear surface waves over a random seabed*. J. Fluid Mech. v.475, p.247-268, 2003.
-  Pihl J. H.; Mei C. C.; Hancock, M. J. *Surface gravity waves over a two-dimensional random seabed*, Physical review E 66, 016611, 2002.